



Fracturation de floes de glace par percussion dans un modèle granulaire

Roussel Desmond Nzoyem

Sorbonne Université
Laboratoire Jacques-Louis Lions

Soutenance de mi-stage
13 mai 2021

Sommaire

1 INTRODUCTION

2 ÉTAT DE L'ART

- Thèse de M. Rabatel
- Thèse de D. Balasoiu

3 TRAVAUX ET RÉSULTATS

- Résultats en 1D
- Résultats en 2D

1 INTRODUCTION

2 ÉTAT DE L'ART

- Thèse de M. Rabatel
- Thèse de D. Balasoiu

3 TRAVAUX ET RÉSULTATS

- Résultats en 1D
- Résultats en 2D

Motivation

Enjeux écologiques

- ▶ Etude climatique à échelle nature (SASIP)
- ▶ Prévisions climatiques avec précision

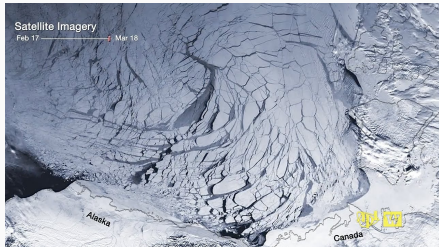


Figure – Prévision dans l'artique

Enjeux industrielles

- ▶ Routes maritimes exploitables
- ▶ Comportement des stations offshore



Figure – Un navire dans la MIZ

2021-05-13

FRACTURATION DE FLOES DE GLACE

INTRODUCTION

Motivation

Floe : Un floe est un morceau de glace.

Motivation

Exercice Géologique

- Étude climatique à échelle locale (SudEP)
- Prévisions climatiques avec précision



Figure 1 - Prévisions dans l'Antarctique

Exercice Industriels

- Reuses maritimes exploitables
- Comparaison de ces stations offshore



Figure 2 - Un glacier dans la MSF

Objectifs

Objectifs généraux

- ▶ Modélisation et analyse mathématique de la notion de percussion
- ▶ Poursuite du développement d'un modèle de fracturation des floes

Objectifs intermédiaires

- 1 Lecture des travaux précédents :
 - ▶ M. Rabatel, S. Labbé, et J. Weiss : Dynamics of an assembly of rigid ice floes (2015);
 - ▶ Matthias Rabatel : Modélisation dynamique d'un assemblage de floes rigides (2015);
 - ▶ Dimitri Balasoiu : Modélisation et simulation du comportement mécanique de floes de glace (2020).
- 2 Modélisation et simulation du déplacement des noeuds d'un floe isolé :
 - ▶ en 1D;
 - ▶ en 2D.
- 3 Introduction de la percussion dans le code préexistant.

1 INTRODUCTION

2 ÉTAT DE L'ART

- Thèse de M. Rabatel
- Thèse de D. Balasoiu

3 TRAVAUX ET RÉSULTATS

- Résultats en 1D
- Résultats en 2D

Cinétique du floe

Les équations de Newton-Euler :

$$\begin{cases} M_i \frac{d\dot{\mathbf{G}}_i(t)}{dt} = \mathbf{F}_i, \\ \mathcal{I}_i \frac{d\dot{\theta}_i(t)}{dt} = \mathfrak{M}_i, \end{cases} \quad (1)$$

où pour le floe i :

- ▶ M_i : masse du floe ;
- ▶ \mathbf{F}_i : somme des forces par unité de volume ;
- ▶ \mathcal{I}_i : le moment d'inertie du floe i ;
- ▶ \mathfrak{M}_i : le moment dynamique en G .

Le système (1) se réécrit sous la forme :

$$\mathcal{M}_i \frac{d\mathbf{W}_i(t)}{dt} = \mathcal{H}_i(t),$$

avec

$$\mathcal{M}_i = \begin{pmatrix} M_i & 0 & 0 \\ 0 & M_i & 0 \\ 0 & 0 & \mathcal{I}_i \end{pmatrix}, \quad \mathbf{W}_i(t) = \begin{pmatrix} \dot{\mathbf{G}}_i(t) \\ \dot{\theta}_i(t) \end{pmatrix}, \quad \text{et} \quad \mathcal{H}_i(t) = \begin{pmatrix} \mathbf{F}_i(t) \\ \mathfrak{M}_i(t) \end{pmatrix}.$$

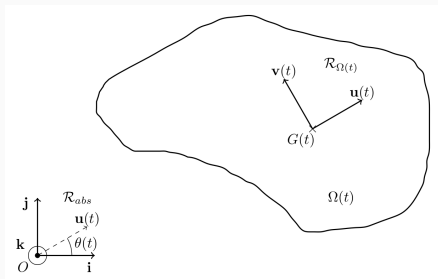
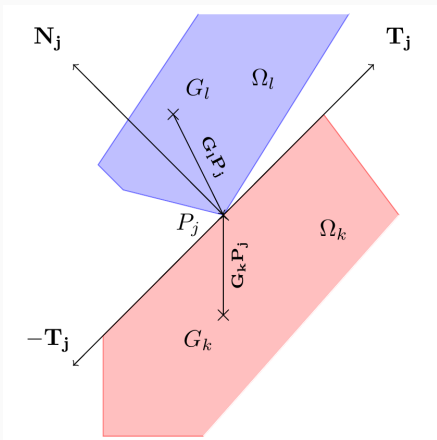


Figure – Repères abosolu et local pour un floe

Interaction entre les floes



Deux conditions à respecter :

- ▶ condition unilatérale de Signorini;
- ▶ loi de friction de Coulomb.

Figure – Interaction entre deux floes Ω_k et Ω_l au point P_j

Discussion sur la thèse

- ▶ Les floes sont rigides;
- ▶ Le modèle ne gère pas la rhéologie de la glace;
- ▶ Les coefficients de friction et de restitution sont limitants.

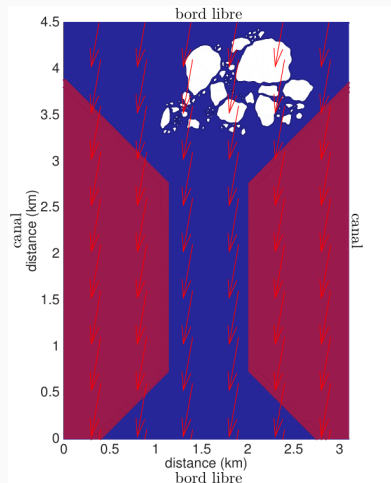


Figure – Dérive dans un canal étroit

Un modèle de fracture variationnel

L'énergie totale s'écrit :

$$E_{\text{tot}} : \bigcup_{\sigma \in \Sigma} A_{\sigma} \times \{\sigma\} \rightarrow \mathbb{R}$$

$$u \mapsto \int_{\Omega \setminus \sigma} A e(u) : e(u) \, dx + k \mathcal{H}^1(\sigma),$$

Une solution du problème de fracture fragile est un couple (u, σ) qui vérifie :

$$E_{\text{tot}}(u, \sigma) = \min_{\sigma \in \Sigma} \min_{u \in A_{\sigma}} E_{\text{tot}}(u, \sigma).$$

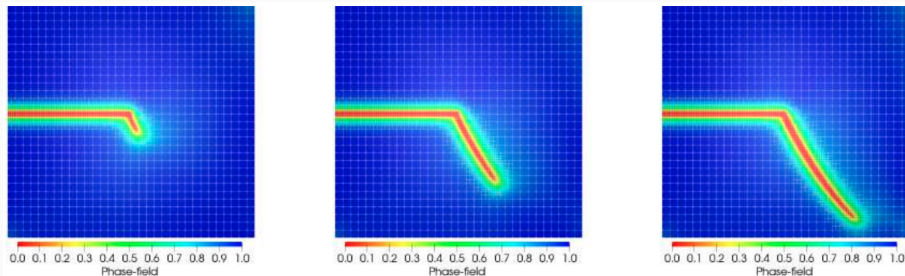


Figure – Bifurcation d'une fracture

Réseaux de ressorts régulier

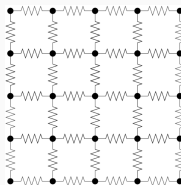


Figure – Réseau de ressorts régulier

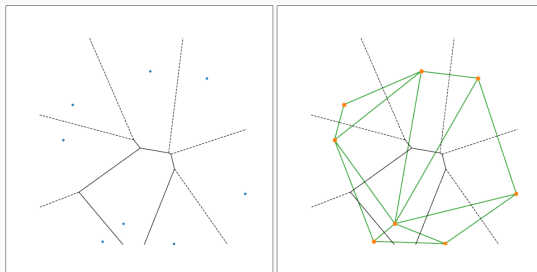


Figure – Tirage de points et diagrammes de Voronoi (à gauche) et Delaunay (à droite)

1 INTRODUCTION

2 ÉTAT DE L'ART

- Thèse de M. Rabatel
- Thèse de D. Balasoiu

3 TRAVAUX ET RÉSULTATS

- Résultats en 1D
- Résultats en 2D

Déplacement des noeuds d'un floe isolé (1)

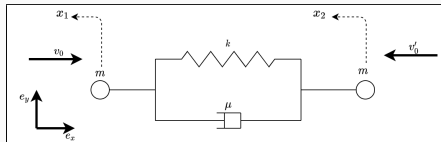


Figure – Floe de glace 1D

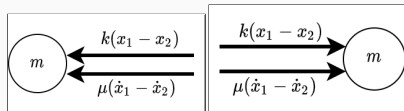


Figure – Bilan des forces

Les équations de Newton-Euler :

$$\begin{cases} m\ddot{x}_1 = -k(x_1 - x_2) - \mu(\dot{x}_1 - \dot{x}_2) , \\ m\ddot{x}_2 = k(x_1 - x_2) + \mu(\dot{x}_1 - \dot{x}_2) . \end{cases}$$

On préfère la forme générique :

$$\begin{cases} \dot{Y}(t) = EY(t) , \\ Y_0 = Y(t_0) = (0, 0, v_0, -v'_0)^T , \end{cases}$$

où :

$$E = \begin{pmatrix} 0 & 0 & 1 & 0 \\ 0 & 0 & 0 & 1 \\ -\frac{k}{m} & \frac{k}{m} & -\frac{\mu}{m} & \frac{\mu}{m} \\ \frac{k}{m} & -\frac{k}{m} & \frac{\mu}{m} & -\frac{\mu}{m} \end{pmatrix} , \text{ et } Y = \begin{pmatrix} x_1 \\ x_2 \\ \dot{x}_1 \\ \dot{x}_2 \end{pmatrix}$$

Déplacement des noeuds d'un floe isolé (2)

Listing – Code de simulation

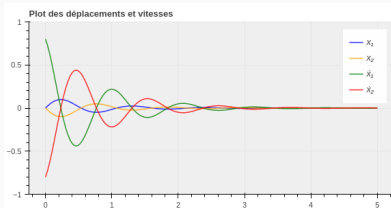
```
Y0 = np.array([0,0, v0, -v0])
t = np.linspace(0, tmax, N+1)
```

```
def model(Y, t):
    return E @ Y
```

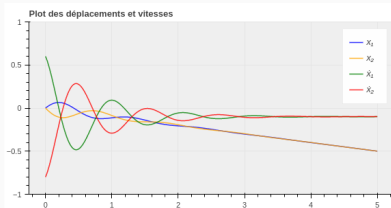
```
Y = odeint(model, Y0, t)
```

Théorème (Convergence du modèle 1D isolé)

Les déplacements x_1 et x_2 des noeuds du floe 1D convergent si et seulement si leurs vitesses initiales sont des vecteurs opposés.



(a) $v_0 = v'_0 = 0.8$



(b) $v_0 = 0.6$ et $v'_0 = 0.8$

Figure – Simulation du déplacement d'un floe en 1D

Collision parfaitement inélastique avec un floe encastré à l'instant initial

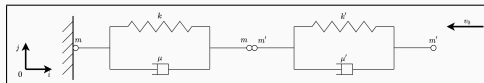


Figure – Collision 1D avec fixation d'un floe

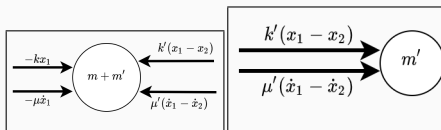


Figure – Bilan des forces

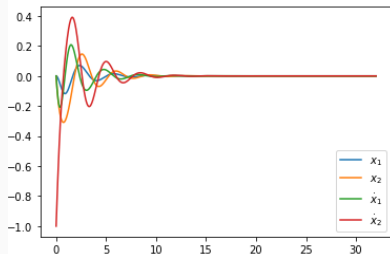


Figure – Résultats de simulation

Le système est régi par les équations :

$$\begin{cases} (m + m')\ddot{x}_1 = -kx_1 - \mu\dot{x}_1 + k'(x_2 - x_1) + \mu'(\dot{x}_2 - \dot{x}_1) \\ m'\ddot{x}_2 = -k'(x_2 - x_1) - \mu'(\dot{x}_2 - \dot{x}_1) \end{cases}$$

Collision parfaitement inélastique sans présence du mur

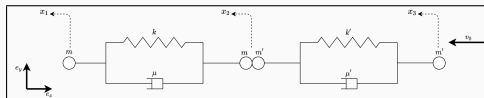


Figure – Collision 1D sans mur

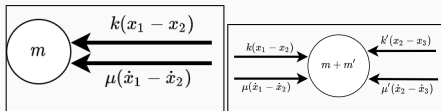


Figure – Bilan des forces

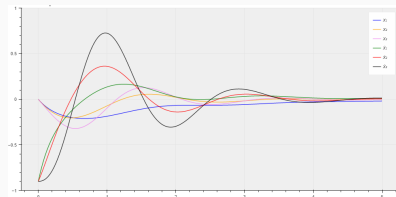


Figure – Résultats de simulation

Le système est régi par les équations :

$$\begin{cases} m\ddot{x}_1 = -k(x_1 - x_2) - \mu(\dot{x}_1 - \dot{x}_2), \\ (m + m')\ddot{x}_2 = k(x_1 - x_2) + \mu(\dot{x}_1 - \dot{x}_2) - k'(x_2 - x_3) - \mu'(\dot{x}_2 - \dot{x}_3), \\ m'\ddot{x}_3 = k'(x_2 - x_3) + \mu'(\dot{x}_2 - \dot{x}_3). \end{cases} \quad (2)$$

Collision inélastique avec séparation des masses

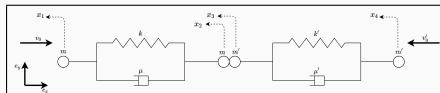


Figure – Collision 1D inélastique

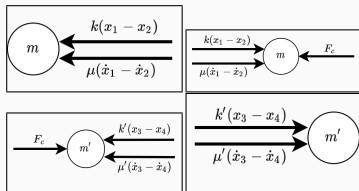


Figure – Bilan des forces

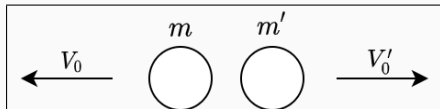


Figure – Situation après contact

Le système est régi par les équations :

$$\begin{cases} m\ddot{x}_1 = -k(x_1 - x_2) - \mu(\dot{x}_1 - \dot{x}_2), \\ m\ddot{x}_2 = k(x_1 - x_2) + \mu(\dot{x}_1 - \dot{x}_2) - F_c, \\ m'\ddot{x}_3 = -k'(x_3 - x_4) - \mu'(\dot{x}_3 - \dot{x}_4) + F_c, \\ m'\ddot{x}_4 = k'(x_3 - x_4) + \mu'(\dot{x}_3 - \dot{x}_4). \end{cases}$$

Avec ε est le coefficient de restitution et :

$$I = \int_{t^-}^{t^+} [k(x_1 - x_2) + \mu(\dot{x}_1 - \dot{x}_2) - k'(x_3 - x_4) - \mu'(\dot{x}_3 - \dot{x}_4)] dt,$$

les vitesses après contact sont :

$$V_0 = \frac{I + (m + \varepsilon m')v_0 + (1 - \varepsilon)m'v'_0}{m + m'},$$

$$V'_0 = \frac{I + (1 - \varepsilon)mv_0 + (m' + \varepsilon m)v'_0}{m + m'}.$$

Déplacement d'un floe isolé (1)

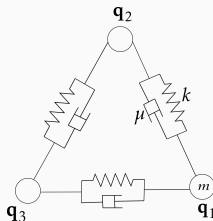


Figure – Floe de glace 2D

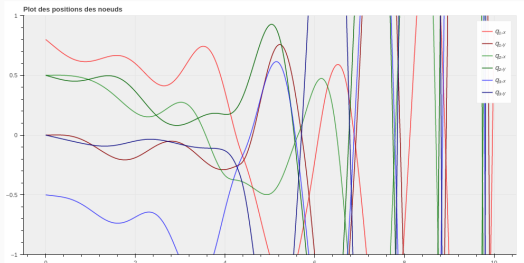


Figure – Simulation avec $T = 10$

Les équations de Newton-Euler :

$$\forall i \in \mathbb{Z}/3\mathbb{Z}, \quad m\ddot{\mathbf{q}}_i = \sum_{j=i+1}^{i+2} C_{ij} \left[k \left(\|\mathbf{q}_j - \mathbf{q}_i\| - L_{ij} \right) \mathbf{u}_{ij} - \mu \left\langle \mathbf{q}_j - \mathbf{q}_i, \mathbf{u}_{ij} \right\rangle \mathbf{u}_{ij} \right].$$

Schéma d'Euler explicite :

$$\mathbf{q}_i^{n+1} = 2\mathbf{q}_i^n - \mathbf{q}_i^{n-1} + \frac{\Delta t^2}{m} \sum_{j=i+1}^{i+2} C_{ij} \left[k \left(\|\mathbf{q}_j^n - \mathbf{q}_i^n\| - L_{ij} \right) \mathbf{u}_{ij} - \frac{\mu}{\Delta t} \left\langle \mathbf{q}_j^n - \mathbf{q}_j^{n-1} - \mathbf{q}_i^n + \mathbf{q}_i^{n-1}, \mathbf{u}_{ij} \right\rangle \mathbf{u}_{ij} \right].$$

Déplacement d'un floe isolé (2)

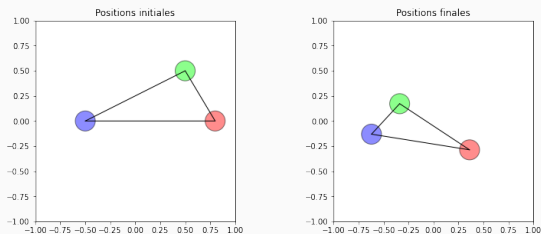


Figure – Illustration à $T = 4$

Références



BALASOIU, Dimitri (2020). « Modélisation et simulation du comportement mécanique de floes de glace ». Thèse de doct. Université Grenoble Alpes.



RABATEL, Matthias (2015). « Modélisation dynamique d'un assemblage de floes rigides ». Thèse de doct. Université Grenoble Alpes.



RABATEL, Matthias et al. (2015). « Dynamics of an assembly of rigid ice floes ». In : *Journal of Geophysical Research : Oceans* 120.9, p. 5887-5909.

Merci pour votre attention 😊!

Questions?